

Нелинейность пьезорезистивного эффекта в пленках поликристаллического кремния

© В.А. Гридчин, В.М. Любимский[¶]

Новосибирский государственный технический университет,
630092 Новосибирск, Россия

(Получена 3 марта 2003 г. Принята к печати 13 мая 2003 г.)

Проведено феноменологическое описание пьезорезистивных свойств пленок поликристаллического кремния с помощью тензоров эластосопротивления и пьезосопротивления в квадратичном приближении, учитывающее симметрию пленки. Получены формулы для вычисления коэффициентов пьезосопротивления 2-го порядка поликремниевых пленок для некоторых текстур и изотропии через коэффициенты пьезосопротивления 2-го порядка монокристаллического кремния. Наблюдается удовлетворительное согласие экспериментальных и рассчитанных коэффициентов пьезосопротивления в области сильного легирования.

1. Введение

Пьезорезистивные свойства пленок поликристаллического кремния описаны в ряде работ [1–13], в которых определены или коэффициенты тензочувствительности, или коэффициенты пьезосопротивления в линейном приближении по деформации или механическому напряжению. Имеется несколько моделей, удовлетворительно объясняющих пьезорезистивные свойства пленок поликристаллического кремния. Модели основаны на следующих предположениях: а) кристаллиты в пленке имеют произвольную ориентацию и пленка изотропная или пленка имеет текстуру; б) деформации или механические напряжения полностью передаются в пленку; в) электрофизические свойства пленок при сильном легировании, когда вкладом барьеров можно пренебречь, определяются кристаллитами. Коэффициенты упругости, тензочувствительности и пьезоэластосопротивления при сильном легировании вычисляются в результате применения процедуры усреднения [2–13].

Нелинейность пьезорезистивных свойств поликремниевых пленок p -типа обсуждалась в [14]. В этой работе приведены экспериментальные результаты определения продольного и поперечного коэффициентов тензочувствительности в квадратичном приближении и величины этих коэффициентов, полученные в результате применения процедуры усреднения для текстуры $\langle 110 \rangle$.

Цель данной работы — феноменологическое описание пьезорезистивных свойств пленок поликристаллического кремния с помощью тензоров эластосопротивления и пьезосопротивления в квадратичном приближении.

2. Теория

Предлагаемая модель пьезорезистивных свойств поликремниевых пленок основана на следующих предположениях: а) поликремниевые пленки или изотропны, или имеют текстуру с осью, которая перпендикулярна плоскости пленки; б) пленка много тоньше подложки и деформации в плоскости подложки полностью

передаются в пленку; в) размеры кристаллитов вдоль оси, перпендикулярной плоскости пленки, равны толщине пленки (столбчатое приближение); г) изменение сопротивления пленки при ее деформации (действии механического напряжения) обусловлено только изменением сопротивлений кристаллитов. Границы раздела зерен вносят вклад только в величину сопротивления пленки и тем самым влияют на величины коэффициентов тензочувствительности или пьезосопротивления; д) для вычисления средних значений компонент тензора эластосопротивления и компонент тензора упругости изотропных поликремниевых пленок используется процедура, предложенная в [15]. В случае текстур средние значения вычисляются в результате интегрирования по углу в плоскости пленки [6].

Относительное изменение сопротивления $\left(\frac{\Delta\rho_{ij}}{\rho}\right)$ при действии деформации (ε_{kl}) или механического напряжения (T_{mn}) в квадратичном приближении выражается через коэффициенты пьезосопротивления $(\pi_{ijmn}, \pi_{ijmst})$ или коэффициенты эластосопротивления (m_{ijkl}, m_{ijklpr}) , которые являются тензорами четвертого ранга и шестого рангов:

$$\begin{aligned} \frac{\Delta\rho_{ij}}{\rho} &= m_{ijkl} \cdot \varepsilon_{kl} + m_{ijklpr} \cdot \varepsilon_{kl} \cdot \varepsilon_{pr} \\ &= \pi_{ijmn} \cdot T_{mn} + \pi_{ijmst} \cdot T_{mn} \cdot T_{st}. \end{aligned}$$

Тензоры $\pi_{ijmst}(m_{ijklpr})$ симметричны по перестановке второй и третьей пар индексов и перестановке внутри пар:

$$\pi_{ijmst} = \pi_{jimst} = \pi_{ijmst} = \pi_{ijmst} = \pi_{ijstmn}.$$

Тензоры m_{ijkl}, m_{ijklpr} и π_{ijmn}, π_{ijmst} при пренебрежении нелинейностью упругих свойств по сравнению с нелинейностью пьезорезистивного эффекта связаны между собой через тензор коэффициентов упругости (C_{mnkl}) или тензор коэффициентов упругой податливости (S_{klmn}) :

$$\begin{aligned} \pi_{ijmn} &= m_{ijkl} \cdot S_{klmn}, & \pi_{ijmst} &= m_{ijklpr} \cdot S_{klmn} \cdot S_{prst}, \\ m_{ijkl} &= \pi_{ijmn} \cdot C_{mnkl}, & m_{ijklpr} &= \pi_{ijmst} \cdot C_{mnkl} \cdot C_{prst}. \end{aligned}$$

Тензоры $\pi_{ijmn}, \pi_{ijmst}, m_{ijkl}, m_{ijklpr}, C_{mnkl}, S_{klmn}$ могут быть записаны в виде матриц $\pi_{in}, m_{ik}, m_{ikp}, C_{nk}, S_{kn}$.

[¶] E-mail: lubvlm@ngs.ru

Коэффициенты пьезопротивления поликремниевых пленок

1	Текстура					Изотропия
	$\langle 100 \rangle$	$\langle 110 \rangle$	$\langle 111 \rangle$	$\langle 113 \rangle$	$\langle 331 \rangle$	
	2	3	4	5	6	7
$\langle \pi_{111}^p \rangle$.6250 π_{111} + .2500 π_{112} + .1250 π_{122} + .7830 π_{661} + .3065 π_{166}	.09375 π_{123} + .3906 π_{111} + .1719 π_{122} + .3438 π_{112} + .2936 π_{441} + 1.077 π_{661} + .1150 π_{144} + .4215 π_{166} + .4598 π_{456}	.0556 π_{123} + .2222 π_{122} + .4444 π_{112} + .2778 π_{111} + .5450 π_{166} + 1.392 π_{661} + .1740 π_{441} + .0681 π_{144} + .2725 π_{456}	.04620 π_{123} + .3216 π_{112} + .1608 π_{122} + .4715 π_{111} + .2266 π_{456} + .0567 π_{144} + .3943 π_{166} + .1447 π_{441} + 1.007 π_{661}	.3568 π_{111} + .3750 π_{112} + .1875 π_{122} + .0807 π_{123} + .2527 π_{441} + 1.174 π_{661} + .3958 π_{456} + .4598 π_{166} + .0989 π_{144}	.1714 π_{122} + .3429 π_{112} + .4286 π_{111} + .0571 π_{123} + .1790 π_{441} + 1.074 π_{661} + .0701 π_{144} + .2803 π_{456} + .4204 π_{166}
$\langle \pi_{112}^p \rangle$.1250 π_{111} + .7500 π_{112} + .1250 π_{122} - .3065 π_{166}	.07813 π_{111} + .2188 π_{123} + .5938 π_{112} + .1094 π_{122} + .2936 π_{441} + .0979 π_{661} - .0383 π_{144} - .1916 π_{166} - .1533 π_{456}	.2778 π_{123} + .1111 π_{122} + .5556 π_{112} + .0556 π_{111} - .1362 π_{166} + .1740 π_{661} + .3480 π_{441} - .0681 π_{144} - .2725 π_{456}	.1349 π_{123} + .6544 π_{112} + .1164 π_{122} + .0943 π_{111} - 0.1087 π_{456} - .0272 π_{144} - .2312 π_{166} + .1765 π_{441} + .0694 π_{661}	.0714 π_{111} + .5830 π_{112} + .1101 π_{122} + .2355 π_{123} + .3082 π_{441} + .1212 π_{661} - .1899 π_{456} - .1750 π_{166} - .0475 π_{144}	.1143 π_{122} + .6286 π_{112} + .0857 π_{111} + .1714 π_{123} + .2237 π_{441} + .0895 π_{661} - .0350 π_{144} - .1401 π_{456} - .2102 π_{166}
$\langle \pi_{122}^p \rangle$.1250 π_{111} + .2500 π_{112} + .6250 π_{122} - .7830 π_{661} + .3065 π_{166}	.0781 π_{111} + .2188 π_{112} + .4844 π_{122} + .2188 π_{123} - .0979 π_{441} - .4894 π_{661} + .2682 π_{144} + .2682 π_{166} - .1533 π_{456}	.2778 π_{123} + .4444 π_{122} + .2222 π_{112} + .0556 π_{111} - .1362 π_{166} + .1740 π_{661} + .3480 π_{441} - .0681 π_{144} - .2725 π_{456}	.1349 π_{123} + .2329 π_{112} + .5379 π_{122} + .0943 π_{111} - .1087 π_{456} + .1654 π_{144} + .2856 π_{166} - .0694 π_{441} - .5906 π_{661}	.0714 π_{111} + .2201 π_{112} + .4730 π_{122} + .2355 π_{123} - .1212 π_{441} - .4470 π_{661} - .1899 π_{456} + .2699 π_{166} + .2888 π_{144}	.5143 π_{122} + .2286 π_{112} + .0857 π_{111} + .1714 π_{123} - .0895 π_{441} - .5369 π_{661} + .2102 π_{144} - .1401 π_{456} + .2803 π_{166}
$\langle \pi_{123}^p \rangle$.2500 π_{112} + .7500 π_{123} - .3915 π_{441}	.03125 π_{111} + .3750 π_{112} + .2187 π_{122} + .3750 π_{123} - .4894 π_{441} - .1958 π_{661} - .2299 π_{144} - .0766 π_{166} + .3065 π_{456}	.2778 π_{123} + .2778 π_{122} + .3889 π_{112} + .0556 π_{111} - .1362 π_{166} - .3480 π_{661} - .4350 π_{441} - .2725 π_{144} + .5450 π_{456}	.5195 π_{123} + .3234 π_{112} + .1349 π_{122} + .0222 π_{111} + .2174 π_{456} - .1382 π_{144} - .0543 π_{166} - .4371 π_{441} - .1388 π_{661}	.0387 π_{111} + .3783 π_{112} + .2356 π_{122} + .3475 π_{123} - .4711 π_{441} - .2425 π_{661} + .3797 π_{456} - .0949 π_{166} - .2413 π_{144}	.1714 π_{122} + .3429 π_{112} + .0286 π_{111} + .4571 π_{123} - .4474 π_{441} - .1790 π_{661} - .1752 π_{144} + .2803 π_{456} - .0701 π_{166}
$\langle \pi_{113}^p \rangle$.7500 π_{112} + .2500 π_{123} + .3915 π_{441}	.0937 π_{111} - .0766 π_{144} - .2230 π_{166} - .3065 π_{456} + .1563 π_{122} + .1250 π_{123} + .6250 π_{112} + .0979 π_{441} + .1958 π_{661}	.1667 π_{111} + .5000 π_{112} + .1667 π_{122} + .1667 π_{123} + .2610 π_{441} - .4087 π_{166}	.0665 π_{111} - .0295 π_{144} - .1631 π_{166} + .1867 π_{123} + .2547 π_{441} + .0905 π_{122} + .6563 π_{112} - .1179 π_{456} - .0753 π_{661}	.1395 π_{123} - .0515 π_{144} - .2848 π_{166} + .1526 π_{441} + .1161 π_{111} + .5863 π_{112} + .1581 π_{122} + .1315 π_{661} - .2059 π_{456}	.1143 π_{122} + .6286 π_{112} + .0857 π_{111} + .1714 π_{123} + .2237 π_{441} + .0895 π_{661} - .0350 π_{144} - .1401 π_{456} - .2102 π_{166}
$\langle \pi_{133}^p \rangle$	π_{122}	.1250 π_{111} + .3065 π_{144} + .3065 π_{166} + .3750 π_{122} + .2500 π_{123} + .2500 π_{112} - .7830 π_{661}	.2725 π_{144} - .5450 π_{456} - .6960 π_{661} + .1111 π_{111} + .4444 π_{112} + .2222 π_{122} + .2222 π_{123} - .3480 π_{441} + .5450 π_{166}	.0684 π_{111} + .1677 π_{144} + .2174 π_{166} + .1367 π_{123} - .0635 π_{441} + .6176 π_{122} + .1773 π_{112} - .0995 π_{456} - .4283 π_{661}	.2388 π_{123} + .2928 π_{144} + .3797 π_{166} - .1110 π_{441} + .1194 π_{111} + .3097 π_{112} + .3321 π_{122} - .7480 π_{661} - .1738 π_{456}	.5143 π_{122} + .2286 π_{112} + .0857 π_{111} + .1714 π_{123} - .0895 π_{441} - .5369 π_{661} + .2102 π_{144} - .1401 π_{456} + .2803 π_{166} - .1398 π_{111} - .2796 π_{112}
$\langle \pi_{166}^p \rangle$.2039 π_{111} - .4078 π_{112} + .2039 π_{122} + .5000 π_{166}	.1274 π_{111} - .2549 π_{112} + .1784 π_{122} - .0510 π_{123} + .2500 π_{456} + .4375 π_{166} + .1596 π_{661} - .1596 π_{441} + .1875 π_{144}	.0906 π_{111} - .1812 π_{112} + .1812 π_{122} - .0906 π_{123} + .4444 π_{166} + .2838 π_{661} - .2838 π_{441} + .2222 π_{144} + .2222 π_{456}	.1538 π_{111} - .3076 π_{112} + .1899 π_{122} - .0362 π_{123} + .1367 π_{456} + .1127 π_{144} + .4658 π_{166} - .1132 π_{441} + .1132 π_{661}	.1164 π_{111} - .2328 π_{112} + .1795 π_{122} - .0631 π_{123} - .1977 π_{441} + .1977 π_{661} + .2388 π_{456} + .4403 π_{166} + .1968 π_{144}	.1864 π_{122} - .0466 π_{123} - .1460 π_{441} + .1460 π_{661} + .1429 π_{144} + .1714 π_{456} + .4571 π_{166}

(Продолжение таблицы)

1	2	3	4	5	6	7
$\langle \pi_{311}^p \rangle$	$.7500\pi_{112} + .2500\pi_{123} + .3065\pi_{144}$	$.1250\pi_{123} + .0938\pi_{111} + .3125\pi_{112} + .4688\pi_{122} + .1533\pi_{144} + .3832\pi_{166} - .3065\pi_{456} - .1958\pi_{441} - .5873\pi_{661}$	$.1667\pi_{123} + .3333\pi_{122} + .3333\pi_{112} + .1667\pi_{111} + .4087\pi_{166} - 1.044\pi_{661} + .2044\pi_{144}$	$.1867\pi_{123} + .1811\pi_{112} + .5657\pi_{122} + .0665\pi_{111} + .0753\pi_{441} + .2289\pi_{144} - .1179\pi_{456} - .4165\pi_{661} + .2220\pi_{166}$	$.1161\pi_{111} + .3162\pi_{112} + .4282\pi_{122} + .1395\pi_{123} - .1315\pi_{441} - .7274\pi_{661} - .2059\pi_{456} + .3878\pi_{166} + .1710\pi_{144}$	$.5143\pi_{122} + .2286\pi_{112} + .0857\pi_{111} + .1714\pi_{123} - .0895\pi_{441} - .5369\pi_{661} + .2102\pi_{144} - .1401\pi_{456} + .2803\pi_{166}$
$\langle \pi_{312}^p \rangle$	$.2500\pi_{122} + .7500\pi_{123} - .3065\pi_{144}$	$.3750\pi_{123} + .0312\pi_{111} + .4375\pi_{112} + .1562\pi_{122} - .1533\pi_{144} - .0766\pi_{166} + .3065\pi_{456} - .5873\pi_{441} - .1958\pi_{661}$	$.2778\pi_{123} + .1111\pi_{122} + .5556\pi_{112} + .0556\pi_{111} - .1362\pi_{166} - .3480\pi_{661} - .6960\pi_{441} - .0681\pi_{144} + .5450\pi_{456}$	$.5195\pi_{123} + .2697\pi_{112} + .1886\pi_{122} + .0222\pi_{111} - .3530\pi_{441} - .2041\pi_{144} + .2174\pi_{456} - .1388\pi_{661} - .0544\pi_{166}$	$.0387\pi_{111} + .4710\pi_{112} + .1427\pi_{122} + .3475\pi_{123} - .6164\pi_{441} - .2425\pi_{661} + .3797\pi_{456} - .0949\pi_{166} - .1276\pi_{144}$	$.1714\pi_{122} + .3429\pi_{112} + .0286\pi_{111} + .4571\pi_{123} - .4474\pi_{441} - .1790\pi_{661} - .1752\pi_{144} + .2803\pi_{456} - .0701\pi_{166}$
$\langle \pi_{313}^p \rangle$	π_{112}	$.2500\pi_{123} + .1250\pi_{111} + .5000\pi_{112} + .1250\pi_{122} - .3065\pi_{166} + .3915\pi_{441}$	$.2222\pi_{123} + .2222\pi_{122} + .4444\pi_{112} + .1111\pi_{111} - .2725\pi_{166} + .3480\pi_{661} + .1740\pi_{441} - .1362\pi_{144} - .5450\pi_{456}$	$.1367\pi_{123} + .7062\pi_{112} + .0887\pi_{122} + .0684\pi_{111} + .1824\pi_{441} - .0249\pi_{144} - .0995\pi_{456} + .0635\pi_{661} - .1677\pi_{166}$	$.1194\pi_{111} + .4870\pi_{112} + .1548\pi_{122} + .2388\pi_{123} + .3185\pi_{441} + .1110\pi_{661} - .1738\pi_{456} - .2928\pi_{166} - .0434\pi_{144}$	$.1143\pi_{122} + .6286\pi_{112} + .0857\pi_{111} + .1714\pi_{123} + .2237\pi_{441} + .0895\pi_{661} - .0350\pi_{144} - .1401\pi_{456} - .2102\pi_{166}$
$\langle \pi_{333}^p \rangle$	π_{111}	$.2500\pi_{111} + .5000\pi_{112} + .2500\pi_{122} + 1.566\pi_{661} + .6131\pi_{166}$	$.2222\pi_{123} + .2222\pi_{122} + .4444\pi_{112} + .1111\pi_{111} + .5450\pi_{166} + 1.090\pi_{456} + 1.392\pi_{661} + .6960\pi_{441} + .2725\pi_{144}$	$.0406\pi_{123} + .2735\pi_{112} + .1367\pi_{122} + .5492\pi_{111} + .1271\pi_{441} + .0497\pi_{144} + .1990\pi_{456} + .8565\pi_{661} + .3353\pi_{166}$	$.2127\pi_{111} + .4776\pi_{112} + .2388\pi_{122} + .0709\pi_{123} + .2219\pi_{441} + 1.496\pi_{661} + .3475\pi_{456} + .5857\pi_{166} + .0869\pi_{144}$	$+ .1714\pi_{122} + .3429\pi_{112} + .4286\pi_{111} + .0571\pi_{123} + .1790\pi_{441} + 1.074\pi_{661} + .0701\pi_{144} + .2803\pi_{456} + .4204\pi_{166}$
$\langle \pi_{366}^p \rangle$	0	0	0	$.0362\pi_{111} - .0723\pi_{112} + .3076\pi_{122} - .2714\pi_{123} + .2264\pi_{441} + .3531\pi_{144} - .2735\pi_{456} - .2264\pi_{661} + .2254\pi_{166}$	$.06313\pi_{111} - .1263\pi_{112} + .2328\pi_{122} - .1697\pi_{123} + .3955\pi_{441} - .3955\pi_{661} - .4776\pi_{456} + .3936\pi_{166} + .2435\pi_{144}$	0
$\langle \pi_{661}^p \rangle$	$.1596\pi_{111} - .1596\pi_{122} + .5000\pi_{661}$	$.5000\pi_{661} + .1958\pi_{456} + .0489\pi_{166} - .0489\pi_{144} - .0399\pi_{123} - .0998\pi_{122} + .0399\pi_{112} + .0998\pi_{111} + .1250\pi_{441}$	$.5556\pi_{661} + .1740\pi_{456} + .0870\pi_{166} - .0870\pi_{144} - .0710\pi_{123} - .0710\pi_{122} + .0710\pi_{112} + .0710\pi_{111} + .1111\pi_{441}$	$.1204\pi_{111} + .0283\pi_{112} + .5101\pi_{661} - .1204\pi_{122} - .0283\pi_{123} - .0347\pi_{144} + .0347\pi_{166} + .1071\pi_{456} + .0684\pi_{441}$	$-.0606\pi_{144} + .0606\pi_{166} + .0494\pi_{112} + .0911\pi_{111} + .5177\pi_{661} - .0911\pi_{122} - .0494\pi_{123} + .1870\pi_{456} + .1194\pi_{441}$	$.1342\pi_{456} - .0365\pi_{123} + .1095\pi_{111} + .0365\pi_{112} - .0447\pi_{144} - .1095\pi_{122} + .0447\pi_{166} + .5143\pi_{661} + .0857\pi_{441}$
$\langle \pi_{636}^p \rangle$	$.3193\pi_{112} - .3193\pi_{123} + .5000\pi_{441}$	$.2500\pi_{661} - .3915\pi_{456} - .0979\pi_{166} + .0979\pi_{144} - .1596\pi_{123} - .0399\pi_{122} + .1596\pi_{112} + .0399\pi_{111} + .3750\pi_{441}$	$.2222\pi_{661} - .3480\pi_{456} - .1740\pi_{166} + .1740\pi_{144} - .0710\pi_{123} - .0710\pi_{122} + .0710\pi_{112} + .0710\pi_{111} + .4444\pi_{441}$	$.0283\pi_{111} + .2125\pi_{112} + .1367\pi_{661} - .0283\pi_{122} - .2125\pi_{123} + .0694\pi_{144} - .0694\pi_{166} - .2141\pi_{456} + .4418\pi_{441}$	$.1212\pi_{144} - .1212\pi_{166} + .1328\pi_{112} + .0494\pi_{111} + .2388\pi_{661} - .0494\pi_{122} - .1329\pi_{123} - .3740\pi_{456} + .3983\pi_{441}$	$-.2685\pi_{456} - .1824\pi_{123} + .0365\pi_{111} + .1824\pi_{112} + .0895\pi_{144} - .0365\pi_{122} - .0895\pi_{166} + .1714\pi_{661} + .4286\pi_{441}$

Из рассмотрения относительного изменения сопротивления в некотором направлении под углом к осям подложки следует, что должны выполняться равенства

$$\begin{aligned}\langle m_{13}^p \varepsilon_3 \rangle &= \langle m_{23}^p \varepsilon_3 \rangle, & \langle m_{113}^p \varepsilon_3 \rangle &= \langle m_{223}^p \varepsilon_3 \rangle, \\ \langle m_{123}^p \varepsilon_3 \rangle &= \langle m_{213}^p \varepsilon_3 \rangle, \\ \langle m_{133}^p \varepsilon_3^2 \rangle &= \langle m_{233}^p \varepsilon_3^2 \rangle, & \langle m_{313}^p \varepsilon_3 \rangle &= \langle m_{323}^p \varepsilon_3 \rangle,\end{aligned}$$

из которых определены

$$\begin{aligned}\langle m_{13}^p \rangle &= \frac{\langle m_{13}^p \varepsilon_3 \rangle + \langle m_{23}^p \varepsilon_3 \rangle}{2\langle \varepsilon_3 \rangle}, \\ \langle m_{113}^p \rangle &= \frac{\langle m_{113}^p \varepsilon_3 \rangle + \langle m_{223}^p \varepsilon_3 \rangle}{2\langle \varepsilon_3 \rangle}, \\ \langle m_{123}^p \rangle &= \frac{\langle m_{123}^p \varepsilon_3 \rangle + \langle m_{213}^p \varepsilon_3 \rangle}{2\langle \varepsilon_3 \rangle}, \\ \langle m_{133}^p \rangle &= \frac{\langle m_{133}^p \varepsilon_3^2 \rangle + \langle m_{233}^p \varepsilon_3^2 \rangle}{2\langle \varepsilon_3^2 \rangle}, \\ \langle m_{313}^p \rangle &= \frac{\langle m_{313}^p \varepsilon_3 \rangle + \langle m_{323}^p \varepsilon_3 \rangle}{2\langle \varepsilon_3 \rangle}.\end{aligned}$$

Для текстур с осями симметрии кристаллитов, перпендикулярных пленке ниже 3-го порядка только для плосконапряженного состояния $\langle m_{636}^p \rangle = \langle m_{663}^p \rangle = \frac{\langle m_{636}^p \varepsilon_3 \rangle}{\langle \varepsilon_3 \rangle}$.

Тогда

$$\begin{aligned}\frac{\langle \Delta \rho_{ci} \rangle}{\langle \rho_c \rangle} &= \langle m_{i1}^p \rangle \varepsilon_1 + \langle m_{i2}^p \rangle \varepsilon_2 + \langle m_{i3}^p \rangle \langle \varepsilon_3 \rangle + \langle m_{i11}^p \rangle \varepsilon_1^2 \\ &+ \langle m_{i22}^p \rangle \varepsilon_2^2 + \langle m_{i33}^p \rangle \langle \varepsilon_3 \rangle^2 + 2\langle m_{i12}^p \rangle \varepsilon_1 \varepsilon_2 \\ &+ 2\langle m_{i13}^p \rangle \varepsilon_1 \langle \varepsilon_3 \rangle + 2\langle m_{i23}^p \rangle \varepsilon_2 \langle \varepsilon_3 \rangle + \langle m_{i66}^p \rangle \varepsilon_6^2, \\ \frac{\langle \Delta \rho_{c6} \rangle}{\langle \rho_c \rangle} &= \langle m_{66}^p \rangle \varepsilon_6 + 2\langle m_{616}^p \rangle \varepsilon_1 \varepsilon_6 \\ &+ 2\langle m_{626}^p \rangle \varepsilon_2 \varepsilon_6 + 2\langle m_{636}^p \rangle \langle \varepsilon_3 \rangle \varepsilon_6, \\ i &= 1, 2, 3.\end{aligned}$$

Коэффициенты пьезосопротивления поликремниевых пленок определены как

$$\langle \pi_{in}^p \rangle = \langle m_{ik}^p \rangle \langle S_{kn}^p \rangle, \quad \langle \pi_{ins}^p \rangle = \langle m_{ikp}^p \rangle \langle S_{kn}^p \rangle \langle S_{ps}^p \rangle.$$

В таблице приведены коэффициенты пьезосопротивления 2-го порядка изотропных и текстурированных поликремниевых пленок с текстурами, рассматриваемыми в данной работе, выраженные через коэффициенты пьезосопротивления монокристаллического кремния. При вычислении $\langle \pi_{ins}^p \rangle$ использованы значения $\langle S_{kn}^p \rangle$ из [13].

3. Обсуждение результатов

Использованная в работе процедура усреднения автоматически приводит к выполнению требований симметрии для коэффициентов эластосопротивления и пьезосопротивления: $\langle m_{222}^p \rangle = \langle m_{111}^p \rangle$, $\langle m_{212}^p \rangle = \langle m_{121}^p \rangle$, $\langle m_{213}^p \rangle = \langle m_{123}^p \rangle$, $\langle m_{323}^p \rangle = \langle m_{313}^p \rangle$, $\langle m_{322}^p \rangle = \langle m_{311}^p \rangle$, $\langle m_{266}^p \rangle = \langle m_{166}^p \rangle$, $\langle \pi_{222}^p \rangle = \langle \pi_{111}^p \rangle$, $\langle \pi_{211}^p \rangle = \langle \pi_{122}^p \rangle$, $\langle \pi_{223}^p \rangle = \langle \pi_{113}^p \rangle$, $\langle \pi_{212}^p \rangle = \langle \pi_{121}^p \rangle$, $\langle \pi_{213}^p \rangle = \langle \pi_{123}^p \rangle$, $\langle \pi_{233}^p \rangle = \langle \pi_{133}^p \rangle$, $\langle \pi_{323}^p \rangle = \langle \pi_{313}^p \rangle$, $\langle \pi_{322}^p \rangle = \langle \pi_{311}^p \rangle$, $\langle \pi_{266}^p \rangle = \langle \pi_{166}^p \rangle$, $\langle \pi_{626}^p \rangle = \langle \pi_{616}^p \rangle$.

Для изотропных пленок, как это и следует из симметрии, выполняются следующие соотношения:

$$\begin{aligned}\langle \pi_{144}^p \rangle &= \frac{1}{2} (\langle \pi_{122}^p \rangle - \langle \pi_{123}^p \rangle), \\ \langle \pi_{155}^p \rangle &= \frac{1}{4} (\langle \pi_{111}^p \rangle - 2\langle \pi_{112}^p \rangle + \langle \pi_{122}^p \rangle), \\ \langle \pi_{414}^p \rangle &= \frac{1}{2} (\langle \pi_{112}^p \rangle - \langle \pi_{123}^p \rangle), \quad \langle \pi_{424}^p \rangle = \frac{1}{4} (\langle \pi_{111}^p \rangle - \langle \pi_{122}^p \rangle), \\ \langle \pi_{456}^p \rangle &= \frac{1}{8} (\langle \pi_{111}^p \rangle - 2\langle \pi_{112}^p \rangle - \langle \pi_{122}^p \rangle + 2\langle \pi_{123}^p \rangle).\end{aligned}$$

Для всех текстур и изотропии:

1. Всесторонняя деформация $\varepsilon = \varepsilon_1 = \varepsilon_2 = \varepsilon_3$ не изменяющая симметрию кристаллитов не приводит к „большому“ эффекту пьезосопротивления и „большой“ нелинейности ($m_{111} \approx m_{122} \approx m_{112} \approx m_{123} \approx 0$):

$$\begin{aligned}\frac{\langle \Delta \rho_{ci} \rangle}{\langle \rho_c \rangle} &= (\langle m_{i1}^p \rangle + \langle m_{i2}^p \rangle + \langle m_{i3}^p \rangle) \varepsilon + (\langle m_{i11}^p \rangle \\ &+ \langle m_{i22}^p \rangle + \langle m_{i33}^p \rangle + 2\langle m_{i12}^p \rangle + 2\langle m_{i13}^p \rangle + 2\langle m_{i23}^p \rangle) \varepsilon^2 \\ &= (m_{i11} + 2m_{i12}) \varepsilon + (m_{i111} + 2m_{i122} + 4m_{i112} + 2m_{i123}) \varepsilon^2.\end{aligned}$$

2. Гидростатическое давление ($T = T_1 = T_2 = T_3$), не изменяющее симметрию кристаллитов, также не приводит к „большому“ эффекту пьезосопротивления и „большой“ нелинейности:

$$\begin{aligned}\frac{\langle \Delta \rho_{ci} \rangle}{\langle \rho_c \rangle} &= (\langle \pi_{i1}^p \rangle + \langle \pi_{i2}^p \rangle + \langle \pi_{i3}^p \rangle) T + (\langle \pi_{i11}^p \rangle + \langle \pi_{i22}^p \rangle \\ &+ \langle \pi_{i33}^p \rangle + 2\langle \pi_{i12}^p \rangle + 2\langle \pi_{i13}^p \rangle + 2\langle \pi_{i23}^p \rangle) T^2 \\ &= (\pi_{i11} + 2\pi_{i12}) T + (\pi_{i111} + 2\pi_{i122} + 4\pi_{i112} + 2\pi_{i123}) T^2\end{aligned}$$

($\pi_{111} \approx \pi_{122} \approx \pi_{112} \approx \pi_{123} \approx 0$) [19].

На рис. 1, 2 приведены экспериментальные и расчетные зависимости относительных изменений сопротивления на единицу механического напряжения $\left(\frac{\langle \Delta \rho_i \rangle}{\langle \rho \rangle T_i} \right)$ поликремниевых пленок при комнатной температуре. При расчетах значения коэффициентов пьезосопротивления 2-го порядка монокристаллического кремния взяты из [19], где они приведены для трех уровней легирования с указанием ошибок их определения. Экспериментальные результаты относительного изменения удельного сопротивления от механического напряжения взяты

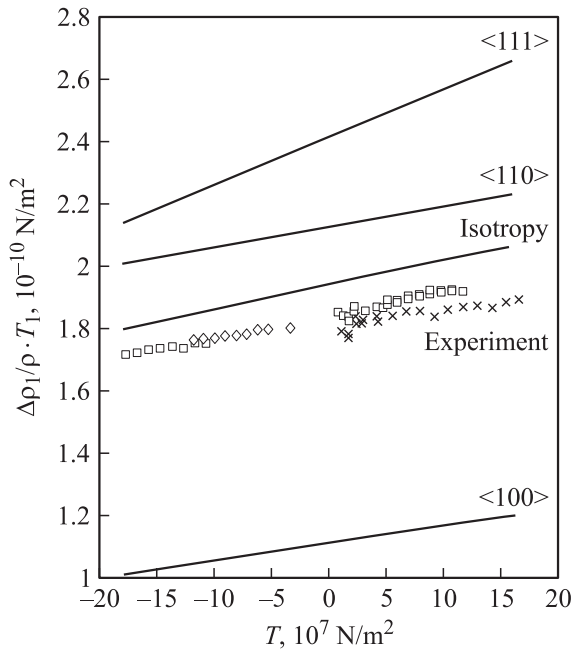


Рис. 1. Зависимость относительного изменения продольного удельного сопротивления на единицу механического напряжения от механического напряжения.

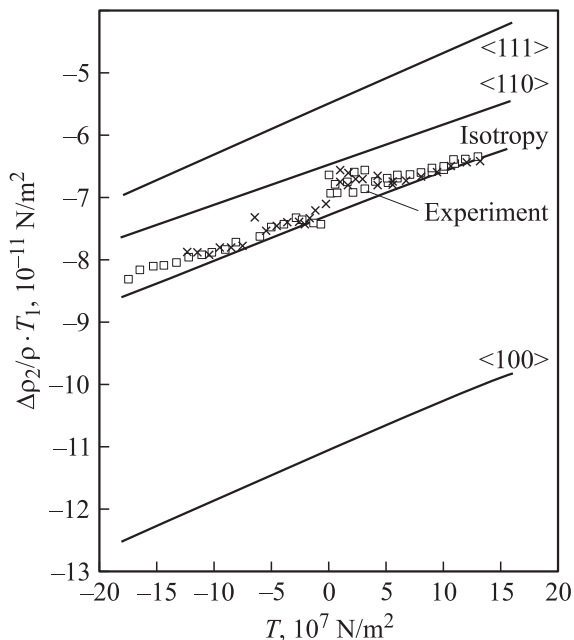


Рис. 2. Зависимость относительного изменения поперечного удельного сопротивления на единицу механического напряжения от механического напряжения.

из [14]. Пленки имеют текстуру $\langle 110 \rangle$, возможно с примесью изотропии. Уровень легирования поликремниевых пленок в [14] — $7 \cdot 10^{19} \text{ см}^{-3}$ и отличается от приведенных в [19]. Поэтому при расчетах были использованы следующие значения коэффициентов пьезосопротивле-

ния 2-го порядка: $\pi_{111} = \pi_{112} = \pi_{122} = \pi_{123} = 0$, $\pi_{661} = -3 \cdot 10^{-20} \text{ Па}^{-2}$, $\pi_{166} = 55 \cdot 10^{-20} \text{ Па}^{-2}$, $\pi_{144} = -28 \cdot 10^{-20} \text{ Па}^{-2}$, $\pi_{441} = 12 \cdot 10^{-20} \text{ Па}^{-2}$, $\pi_{456} = -20 \cdot 10^{-20} \text{ Па}^{-2}$. Из рисунков видно, что как для продольного, так и для поперечного эффектов углы наклона прямых близки для текстур $\langle 100 \rangle$, $\langle 110 \rangle$ и изотропии. Для текстуры $\langle 110 \rangle$ и изотропии наблюдается удовлетворительное согласие между экспериментальными и расчетными зависимостями.

4. Заключение

1. Проведено феноменологическое описание пьезорезистивных свойств пленок поликристаллического кремния в квадратичном приближении с помощью тензоров эластосопротивления и пьезосопротивления, учитывающее симметрию пленки.

2. Для всех рассмотренных в работе текстур и изотропии выполняются равенства, следующие из требований симметрии, между усредненными коэффициентами пьезо- и эластосопротивления 2-го порядка.

3. Наблюдается удовлетворительное согласие экспериментальных и расчетных зависимостей относительных изменений сопротивления на единицу механического напряжения поликремниевых пленок при комнатной температуре в области сильного легирования.

Список литературы

- [1] V. Mosser, J. Suski, J. Goss, E. Obermeir. *Sensors Actuators A*, **28**, 113 (1991).
- [2] J. Suski, V. Mosser, J. Goss. *Sensors Actuators*, **17**, 405 (1989).
- [3] J. Suski, V. Mosser, G. Le Roux. *Electrochem. Soc. Conf.* (San Diego, CA, USA, Oct. 1986) p. 331.
- [4] E. Obermeir. *Ph.D. Thesis* (University of Munich, 1983).
- [5] P.H. French, A.G.R. Evans. *Sensors Actuators*, **7**, 135 (1985).
- [6] D. Shubert, W. Jenschke, T. Uhlig, F.M. Schmidt. *Sensors Actuators*, **11**, 145 (1987).
- [7] V.A. Gridchin, V.M. Lubimsky, M.P. Sarina. *Sensors Actuators A*, **49**, 67 (1995).
- [8] P.H. French, A.G.R. Evans. *Electron. Lett.*, **24**, 999 (1984).
- [9] T. Toriyama, Y. Yokoyama, S. Sugiyama. *Sensors Materials*, **12**, 473 (2000).
- [10] P.H. French, A.G.R. Evans. *Sol. St. Electron.*, **32**, 1 (1989).
- [11] M. Le Berre, M. Lemiti, D. Barbier, P. Pinard, J. Cali, E. Bustarret, J. Sicart, J.L. Robert. *Sensors Actuators A*, **46–47**, 166 (1995).
- [12] Bossche, J.R. Mollinger. *Sensors Actuators A*, **62**, 475 (1997).
- [13] В.А. Гридчин, В.М. Любимский. *Микроэлектроника*, **32**, 261 (2003).
- [14] V.A. Gridchin, V.M. Lubimsky, M.P. Sarina. *Proceedings Measurement' 97* (Smolenice, 1997) p. 74.
- [15] W. Voigt. *Lehrbuch der Kristallphysik* (Verlag B.G. Teubner, Leipzig, 1910).
- [16] Ю.И. Сиротин, М.П. Шаскольская. *Основы кристаллофизики* (М., Наука 1975).
- [17] N.C.C. Lu, L. Gerzberg, C.Y. Lu, J.D. Meindl. *IEEE Trans. Electron. Dev.*, **ED-28**, 818 (1981).

- [18] D.M. Kim, A.N. Khondker, S.S. Ahmed, R.R. Shah. IEEE Trans. Electron. Dev., **ED-31**, 480 (1984).
- [19] K. Matsuda, Y. Kanda, K. Yamamura, K. Suzuki. Jap. J. Appl. Phys., **29**, L1941 (1990).

Редактор Л.В. Беляков

Nonlinearity of the piezoresistance effect in polycrystalline silicon films

V.A. Gridchin, V.M. Lubimsky

Novosibirsk State Technical University,
630092 Novosibirsk, Russia

Abstract Offered is a phenomenological description of the piezoresistance properties of films of polycrystalline silicon with the help of tensors of elastoresistance and piezoresistance in the square-law approach which takes into account the symmetry of films. Formulas for calculating piezoresistance coefficients of the second order for some textures of polysilicon films have been obtained. Experimental and designed factors agree well in the range of high doping concentrations.